

تکامل ریزساختاری کانی‌ها طی سردشدن توده نفوذی زرین، شاهدی بر دگرشکلی پویا

نسیم عسکری^۱، رضا زارعی سهامیه^{۱*}، سید جعفر عمرانی^۲، محمد‌هاشم امامی^۲، پاتریزیا فیاناکا^۳

۱- گروه زمین‌شناسی، دانشکده علوم پایه، دانشگاه لرستان، خرم‌آباد، ایران

۲- سازمان زمین‌شناسی و اکتشافات معدنی کشور، تهران، ایران

۳- دانشکده علوم محیطی، زمین‌شناسی و بیولوژی، دانشگاه کاتولیک، آیت‌آباد

(دریافت مقاله: ۹۹/۱۲/۴، نسخه نهایی: ۱۴۰۰/۲/۸)

چکیده: گرانیت‌وبید زرین در قطعه یزد و ایران مرکزی جای دارد. سنگ‌های گرانیت‌وبیدی زرین ویژگی پروتومیلونیتی تا میللونیتی نشان می‌دهند. در گرانینوبید زرین، ریزساختارهایی چون الگوی خاموشی شترنجی در کوارتز و شکستگی‌های شبه ماقمایی در پلاژیوکلаз گویای دگرشکلی در دمای بالا (۶۵۰ درجه سانتی‌گراد) و در حضور مذاب هستند. ریزساختارهایی چون برآمدگی فلدسپار، مهاجرت مز خردۀ دانه، بازتببور و چرخش مز خردۀ دانه‌های کوارتز و فلدسپار بیانگر دگرشکلی در دمای بیش از ۴۵۰ درجه سانتی‌گراد و ریزساختارهایی مانند برآمدگی کوارتز، میکای شکن شده، ماکل دگرشکلی و خمث فلدسپار نیز نشانگر دگرشکلی در دمای کمتر از ۴۵۰ درجه سانتی‌گراد هستند. توالی ریزساختارها در کانی‌های توده نفوذی زرین از شرایط شبه ماقمایی تا حالت جامد دما-پایین نشان دهنده گسترش دگرشکلی‌های برشی طی سرد شدن ماقما در زمان‌ها و اعماق مختلف است. همچنین قرارگیری ریزساختارهای حالت جامد دما-پایین بر ریزساختارهای شبه ماقمایی و دما-بالا نشان می‌دهد که گرانیت زرین ویژگی دگرشکلی را هم در زمان تبلور و در حضور مذاب با وجود ریزساختارهای شبه ماقمایی و هم در زمان سرد شدن و تبلور کامل با وجود ریزساختارهای دماپایین در خود ثبت کرده است.

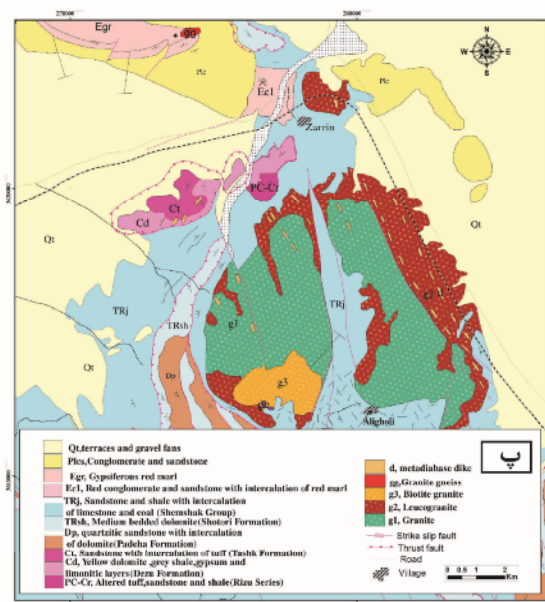
واژه‌های کلیدی: گرانیت؛ ریزساختارهای دگرشکلی؛ قطعه یزد؛ ایران مرکزی.

جامد تا رخدادهای دگرشکلی شکننده دماپایین هستند [۱۳، ۱۲]. اغلب در تعیین شرایط تشکیل بافت و دگرشکلی سنگ‌های گرانیتی در پهنه‌های برشی از شواهد ریزساختاری کانی‌های کوارتز و فلدسپار در گرانیت‌های میللونیتی استفاده می‌شود [۱۵، ۱۴]. توده نفوذی زرین نیز نوعی گرانیت میللونیتی است که بررسی‌های پیشین در آن و در منطقه بیانگر وجود دگرشکلی در شرایط شکل‌پذیر و طی حرکت برشی راستبر در پهنه زرین است [۱۶]. همچنین مسعودی و همکاران [۱۷] با بررسی ریزساختارها، گستره دمایی ۴۰۰ تا ۵۰۰ درجه سانتی‌گراد را برای دگرشکلی‌های توده نفوذی زرین تعیین نمودند. در این پژوهش، انواع مختلف ریزساختارها در توده گرانیتی زرین، شامل انواع ریزساختارهای شبه-ماقمایی و

مقدمه
بررسی دگرشکلی و ارتباط آن با فعالیت ماقمایی نقش موثری در شناسایی روند تکامل زمین‌ساختی رخدادهای کوه‌زایی در هر منطقه‌ای دارد، برای مثال، بررسی ویژگی‌های دگرشکلی گرانیت‌ها در تعیین روند تغییر ماقما، زمین‌ساخت ناحیه‌ای و نیروهای موثر بر جریان ماقما به کار می‌روند [۱-۵]. تاکنون پژوهش‌های بسیاری پیرامون ویژگی‌های ریزساختاری توده‌های نفوذی در پهنه‌های برشی انجام شده است [۶-۸] اما هنوز درباره ماهیت ارتباط زایشی بین دگرشکلی و جایگیری ماقما و همچنین ارتباط زمانی بین آن‌ها ابهام وجود دارد [۹-۱۱]. هر یک از ریزساختارهای ثبت شده در گرانیت‌ها نشانگر شرایط دمایی مراحل مختلف از زمان تبلور ماقما، دگرشکلی در حالت

*نویسنده مسئول، تلفن: ۰۹۱۲۲۰۵۳۲۶۵، نمایر: ۰۶۶۳۳۱۲۰۶۱۱، پست الکترونیکی: Zarei.r@lu.ac.ir

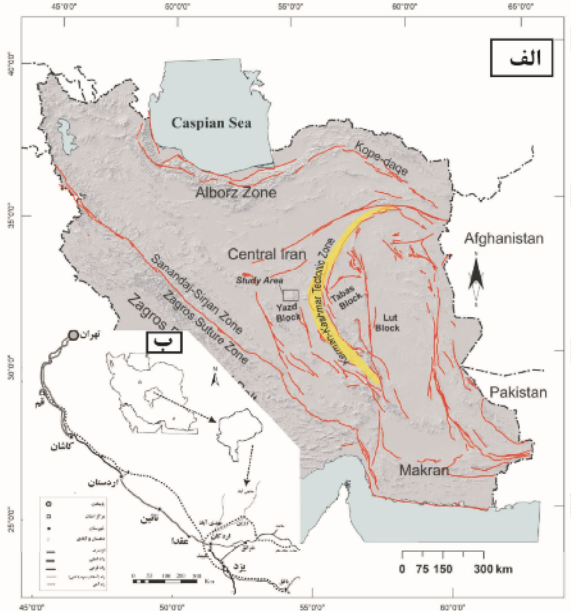
ایران مرکزی و توران بسته شده و همزمان، اقیانوس نفوتیس بین قطعه‌های ایران مرکزی و عربی باز شده است [۲۰-۲۳]. اقیانوس نفوتیس با همگرایی ورقه‌های عربی و اوراسیا از ژوراسیک شروع به بسته شدن و فرورانش در راستای پهنه سندج- سیرجان کرده است [۲۴-۲۶]. ایران مرکزی بوسیله مرزهای گسلی به سه قطعه لوت، طبس و یزد از شرق به غرب تقسیم می‌شود [۲۷]. هر یک از این قطعه‌ها از نظر نوع دگرشکلی و لرزه‌خیزی، ویژگی‌هایی دارند که آن‌ها را از مناطق پیرامون تفکیک می‌کند. پهنه برشی زرین در همسایگی پهنه زمین‌ساختی کرمان- کاشمر است که قطعه یزد را از قطعه طبس جدا می‌کند (شکل ۱ الف). پهنه زمین‌ساختی کرمان- کاشمر به شکل کمانی به پهنهای ۱۰۰- ۵۰ کیلومتر و طول ۶۰۰ کیلومتر بوده و ویژگی آن رخنمون سنگ‌های بی‌سنگی دگرشکل شده ایران مرکزی با سنی حدود نفوپرتوزوویک پسین و کامبرین پیشین است [۲۸]. در شرق منطقه زرین، در ناحیه ساغند سنگ‌های دگرگون شده پر کامبرین تا تریشی و همچنین سنگ‌های نفوذی میلیونی در پهنه برشی نی باز- چاتک رخنمون دارند که آن‌ها را با فاز اصلی تشکیل کمپلکس مرکز دگرگونی ایران مرکزی در ائوسن در ارتباط می‌دانند [۲۹-۳۰]. پهنه برشی زرین نیز مشابه با پهنه برشی نی باز- چاتک و پهنه برشی بزرگتر کرمان- کاشمر دارای راستای کلی شمالی- جنوبی است [۱۶].



شکل ۱-الف- موقعیت زمین‌شناسی و جغرافیایی منطقه مورد بررسی، ب- راههای دسترسی به منطقه مورد بررسی، و پ- نقشه زمین‌شناسی منطقه زرین برگرفته از نقشه زمین‌شناسی یکصدهزارم زرین [۱۸].

ریزساختهای حالت جامد (دما- بالا تا دما پایین) بررسی شده، و با ترکیب نتایج به دست آمده با شواهد صحرایی عملکرد فعالیت‌های برشی در توده نفوذی زرین به عنوان بخشی از تاریخچه فعالیت ماقمایی ایران مرکزی تحلیل می‌گردد.

موقعیت جغرافیایی و زمین‌شناسی منطقه
توده نفوذی زرین با مساحت تقریبی ۱۰۰ کیلومتر مربع و با مختصات جغرافیایی $43^{\circ} ۴۳' ۵۴^{\circ} ۳۱'$ طول شرقی و $۳۲^{\circ} ۴۳' ۰۳' ۵۴^{\circ} ۳۱'$ عرض شمالی در شمال شرقی اردکان واقع است. برای دستیابی به منطقه مورد بررسی می‌توان با طی حدود ۸۰ کیلومتر در مسیر جاده اردکان- حاجی آباد به روستای زرین رسید (شکل ۱). این منطقه در جنوب غربی نقشه زمین‌شناسی $1:100000$ زرین [۱۸]، بخشی از ایران مرکزی است و در قطعه یزد جای دارد (شکل ۱). پی‌سنگ ایران مرکزی در بردارنده سنگ‌های دگرگونی و آذرین گندوانایی بوده و تاریخچه تکامل آن مانند دیگر بخش‌های ایران وابسته به باز و بسته شدن اقیانوس تیس در زمان‌های مختلف است. در زمان پالئوزوویک، ایران مرکزی بخشی از کرانه غیرفعال پالئوتیس بوده و مانند دیگر بخش‌های ایران حالت سکویی در آن حاکم بوده و در دوران مزووئیک و سنزووئیک، ایران مرکزی از نظر زمین‌ساختی منطقه پرتحرکی بوده است [۱۹]. از زمان پرمین تا تریاس پیشین، پالئوتیس بین قطعه‌های



گرانیت (مونزوگرانیت، سینوگرانیت) و گرانوپوریت بوده و بیوتیت مهم‌ترین کانی فرومینیزین در آن است. نمونه‌های مورد بررسی دارای ساخت میلونیتی و بافت دانه‌ای و همچنین بافت‌های فرعی گرانوفیری، پرتیتی، بافت شطرنجی آلبیت (شکل ۴ الف) هستند. بافت شطرنجی آلبیت پیامد فرایندی است که در آن فلدسپار توسط سیال سدیمی به آلبیت تبدیل می‌شود، از شواهد دگرشکلی پویا در حضور فاز سیال است و در سنگ‌های گرانیتی بسیار دیده می‌شود [۳۳، ۳۲] کانی‌های اصلی در این سنگ‌ها شامل کوارتز (۳۰-۴۰ درصد حجمی)، فلدسپار قلایی (۵۰-۲۵ درصد حجمی)، پلاژیوکلاز (۴۰-۲۰ درصد حجمی) و بیوتیت (حدود ۵ تا ۱۰ درصد حجمی) هستند. کوارتز در اندازه‌های مختلف (۰/۱ تا ۱ میلی متر) هم در زمینه و هم به صورت درشت بلور وجود دارد، این کانی دارای ویژگی‌هایی چون خاموشی مستقیم، موجی و همچنین خاموشی با الگوی شطرنجی است و در آن شواهد بازتابلور و تشکیل خرده دانه دیده می‌شود (شکل‌های ۴ الف و پ). فلدسپار قلایی (۱/۰ تا ۲ میلی متر) شامل ارتوز و میکروکلین، دارای ماکل کارلسپاد و تارتون است، همچنین ویژگی‌های همرشدی چون پرتیت نشان می‌دهد و گاهی به کانی‌های رسی دگرسان شده‌است (شکل ۴ ب). پلاژیوکلازها به صورت درشت بلور خود شکل و نیمه شکل‌دار هستند و در آن‌ها، ماکل نواری، کارلسپاد آلبیت، ماکل دگرشکلی و خمیده نیز دیده می‌شود (شکل‌های ۴ ب و ج). پلاژیوکلاز اغلب در فلدسپار قلایی به صورت پرتیت و گاهی به صورت ثانویه و فراورده دگرنهادی نیز در برخی مقاطع دیده می‌شود. بیوتیت شکل‌دار (۰/۱ تا ۱ میلی متر) در برخی مقاطع به کلریت، مسکویت و اپیدوت در دگرسان شده است و آثار خمش و جهت‌یابی ترجیحی و به ندرت ویژگی میکاماهی در آن مشاهده می‌شود (شکل ۴ ت). همچنین در بیوتیت، زیرکن همراه با هاله وجود دارد (شکل ۴ ث). کانی‌های فرعی شامل آپاتیت، اسفن، اکسیدآهن (ایلمینیت و مگنتیت)، آلانیت، زیرکن و اپیدوت هستند. کانی‌های ثانویه نیز کلریت، سریسیت، پیستاسیت و کلینوزوئیزیت و پلاژیوکلاز ثانویه هستند (شکل ۴ ب).

بررسی‌های ریزساختاری

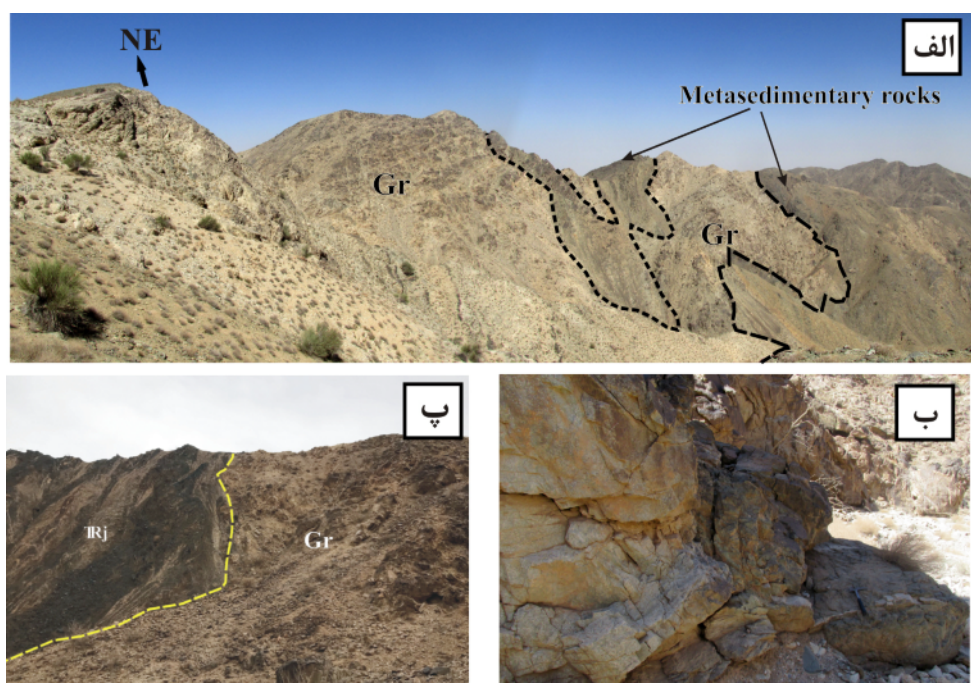
شواهد ریزساختاری دگرشکلی برشی در نمونه‌های مورد بررسی از کانی‌های کوارتز، فلدسپار و بیوتیت وجود دارد در ادامه توصیف می‌شوند.

برداشت صحرایی

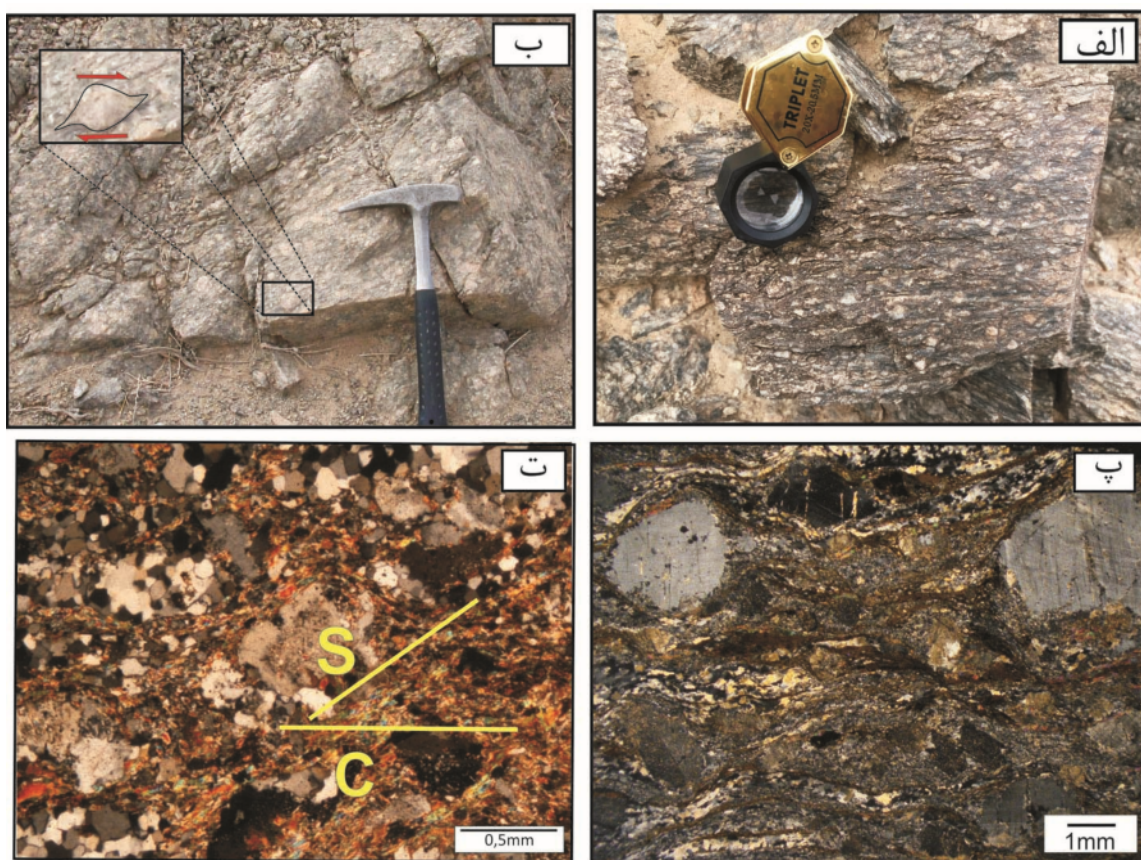
توده نفوذی زرین به شکل مدور و کشیده به صورت شمالی-جنوبی است، این توده شامل دو بخش کشیده و یک بخش کوچک در شمال منطقه است. توده گرانیت‌وییدی زرین توسط رسوی-دگرگونی تریاس و ژوراسیک (سازند شمشک)، در برگرفته شده است (شکل ۱ پ). در غرب توده نیز، واحدهای پرکامبرین-پالئوزووییک شامل شیل، ماسه سنگ و توف (سری ریزو)، شیل و با میان لایه‌های سنگ گج (دزو) و سازند تاشک رخمنون دارند. همبری توده نفوذی زرین و واحدهای رسوی-دگرگونی تریاس ژوراسیک دارای مرز واضح است و شواهد دگرگونی مجاورتی ضعیف در تماس با آن دیده می‌شود (شکل ۲ ب و پ)؛ سنگ‌های دگرگونی پیرامون گرانیت زرین شامل مسکویت-کلریت فیلیت و مسکویت اسلیت در غرب توده و نیز بیوتیت شیست و بیوتیت مسکویت اسلیت در شمال توده بوده که در برخی مقاطع، گرافیت‌دار هستند. دایک‌های مافیک با روند شمال غرب و جنوب شرق توده زرین و واحدهای سنگی پیرامون آن را قطع کرده‌اند. جوان‌ترین واحد سنگی کنگلومرای ارغوانی ائوسن در شمال منطقه است که در آن قطعه‌های شیل و ماسه سنگ وجود دارد. همچنین کنگلومرای پلیوسن در شرق منطقه مورد بررسی رخمنون دارد که شامل قطعه‌های شیل، ماسه سنگ، دولومیت، و قطعه‌های گرانیت زرین است. برگوارگی میلونیتی (شکل ۳ الف) در برخی مناطق به ویژه در توده کوچکی در شمال منطقه گسترش خوبی دارد و راستای برگوارگی میلونیتی شمال شرق تا جنوب غرب (NE-SW) و با شبی به سمت غرب است.

سنگنگاری

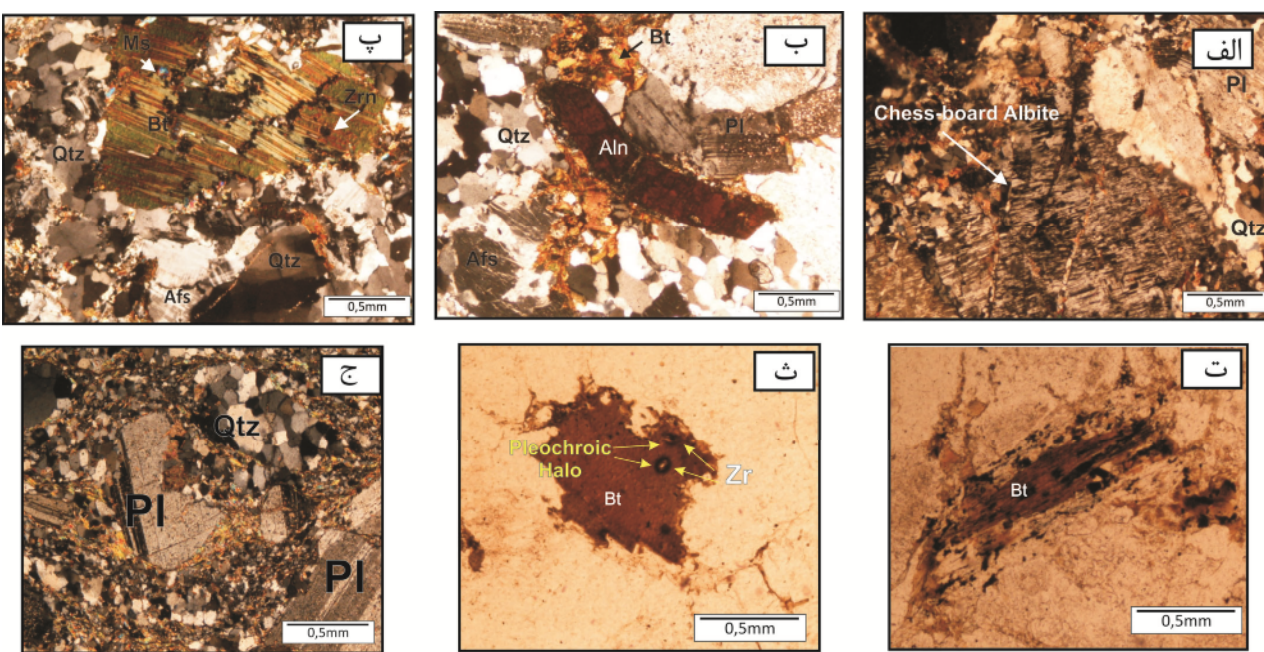
در منطقه مورد بررسی، به‌طور کلی شواهد دگرشکلی در صحراء گسترش کمی دارد و تنها در برخی مناطق به ویژه در دو توده کوچک در شمال منطقه، قابل مشاهده‌اند (شکل‌های ۳ الف و ب). این در حالی است که در بررسی‌های میکروسکوپی، شواهد دگرشکلی به خوبی دیده می‌شوند (شکل ۳ پ). در بررسی شواهد ریزساختاری توده نفوذی زرین، مقاطع میکروسکوپی موادی با خطواره کششی و عمود بر برگواره میلونیتی تهیه شدند. در بررسی سنگنگاری از نشانه‌های اختصاری کانی‌ها برگرفته از مرجع [۳۱] استفاده شد. نمونه‌های مورد بررسی براساس نسبت پورفیر به زمینه در گستره انواع پروتومیلونیت‌ها (با ۵-۱۰٪ سنگ زمینه)، میلونیت‌ها (با ۹۰-۵۰٪ زمینه) قرار دارند. براساس بررسی‌های سنگنگاری، توده نفوذی زرین شامل



شکل ۲ الف- تصویر صحراوی از توده نفوذی زرین که توسط سنگ‌های رسوبی- دگرگونی در بر گرفته شده است. ب- نمای نزدیک از همسایگی گرانیت زرین با واحد دگرگونی ژوراسیک و پ- همبry گرانیت زرین با واحد ژوراسیک که به صورت گسله می‌باشد.



شکل ۳ الف- نمای نزدیک از ساختار میلونیتی، ب- پورفیروکلاست آواری چشمی فلدسپار در توده نفوذی زرین در صحراء، پ- ساختار میلونیتی در مقطع میکروسکوپی و ت- تشکیل باند برش در زمینه‌ای از کوارتز، فلدسپار و میکا با پورفیروکلاست آواری‌های فلدسپار.



شکل ۴ تصویر میکروسکوپی در نور قطبیده متقاطع، (XPL)، االف- از بافت شترنجی آلبیت ناشی از آلبیتی شدن میروکلین، ب- پلازیوکلاز با ماکل دگرشكلي، بافت پرتیتی، بلور خودشكيل آلانیت، پ- کلریتی شدن بیوتیت، خاموشی شترنجی در کوارتز، ت- میکا ماهی بیوتیت، ث- هاله چند رنگی پیرامون زیرکن در بیوتیت، ج- پورفیروکلاست پلازیوکلاز با ماکل کارلسbad-آلبیت که کانی‌های میکا آن را دور زده‌اند.

دینامیکی برآمدگی (BLG) در مرز کانی‌های کوارتز و پلازیوکلاز دیده می‌شود (۵ ث و ج). پلازیوکلاز و آلالکالی فلدسپارها به صورت پورفیروکلاست‌های درشت چشمی نیز وجود دارند که توسط باندهای بیوتیت، فلدسپار و کوارتز تجدید تبلوریافته دور زده شده‌اند و در راستای سوی برگوارگی قرار گرفته‌اند و بلورها و باندهای کوارتز به صورت سایه‌های کرنشی نیز در راستای برگوارگی مشاهده می‌شوند (۵ ت).

بیوتیت

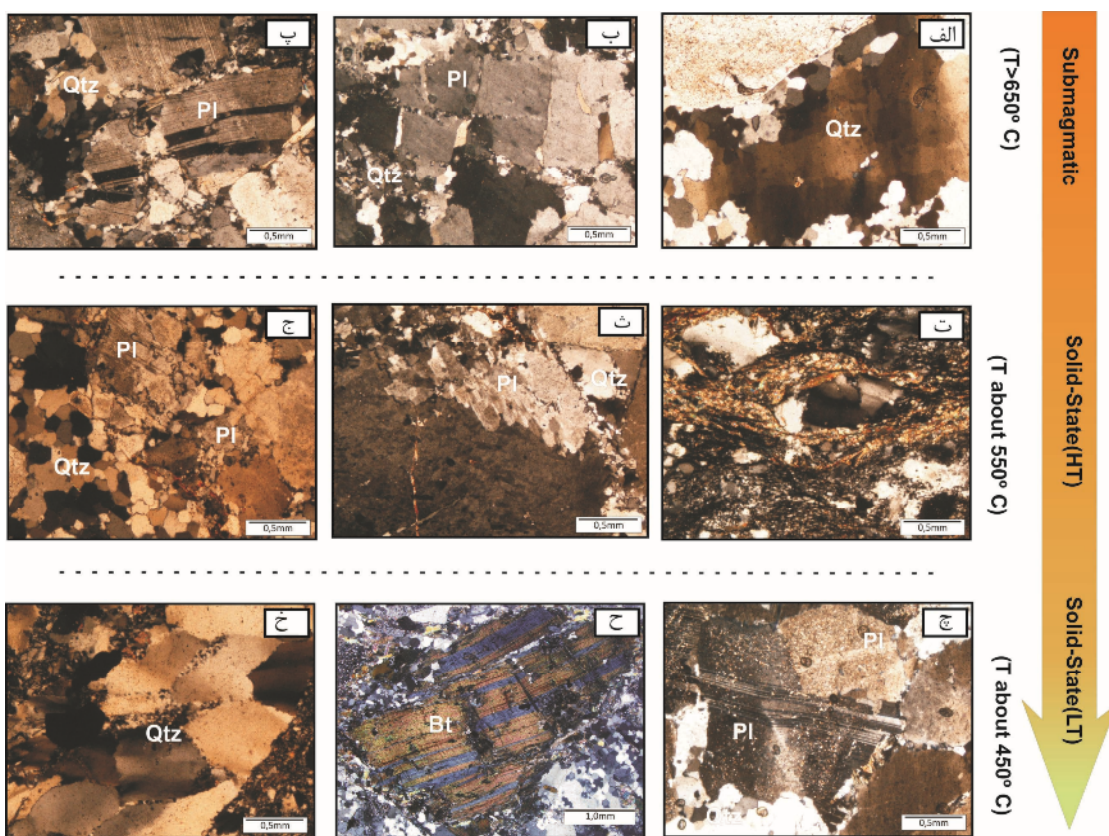
بیوتیت در سنگ‌های مورد مطالعه هم به صورت تجمعی و هم پراکنده دیده می‌شود. که در برخی نمونه‌ها به ندرت دارای جهت‌یابی ترجیحی (میکاماهی) هستند (شکل ۴ ت) در نمونه‌هایی با دگرشكلي بالا بیوتیتها به صورت تجمعی در راستای برگوارگی به صف شده و اغلب فنوکریست‌های بزرگ نظیر فلدسپار (آلالکالی فلدسپار و پلازیوکلاز) را محصور کرده‌اند و معمولاً در مناطقی با استرین بالا مشاهده می‌شوند (شکل ۵ ت). یکی دیگر از شواهد دگرشكلي در بیوتیت ویژگی کینک‌شدگی است (۵ ج).

کوارتز

در نمونه‌های مورد بررسی، کانی کوارتز دارای خاموشی‌های موجی و شترنجی (۵ الف) است. در توده نفوذی زرین، شواهد بازتابلور کوارتز و تشکیل خردۀ دانه‌ها پیرامون بلورها دیده می‌شوند. همچنین، کوارتز به صورت روبان‌های کوارتز موازی با برگوارگی برشی (شکل‌های ۳ پ و ت) پیرامون ساختارهای چشمی قرار دارند و بلورهای کوارتز درون این روبان‌ها دارای خاموشی موجی هستند. در کوارتز، انواع بازتابلور از جمله بازتابلور با برآمدگی (BLG) دیده می‌شود که در آن، مرز دانه‌های کوارتز به درون دانه‌های کناری از جمله کوارتز و پلازیوکلازها نفوذ کرده و در نتیجه کنگرهای شده‌اند. همچنین بازتابلور پویا از نوع مهاجرت مرزدانه‌ای (GBM) در بلورهای کوارتز دیده می‌شود که مربوط به دماهای بالاتر است. باز تبلور پویا از نوع بازتابلور همراه با چرخش خردۀ دانه (SGR) نیز در پیرامون بلورهای کوارتز دیده می‌شود (شکل ۵ خ).

فلدسپار

از جمله شواهد دگرشكلي در فلدسپار می‌توان به وجود ماکل دگرشكلي با انتهای مخروطی و سوزنی، شکستگی‌های ریز، خمس و کینگ‌شدگی اشاره نمود (شکل ۵ ج). همچنین تبلور



شکل ۵ شواهد ریزساختاری دگرشکلی برشی از شرایط دگرشکلی شبه-ماگمایی تا دگرشکلی حالت جامد دما- پایین: الف- الگوی خاموشی شترنجی کوارتز، ب و پ- شکستگی‌هایی شبه ماگمایی که با کانی‌های کوارتز و فلدسپار پر شده‌اند و دگرشکلی با وجود مذاب را نشان می‌دهند، ت) خاموشی موجی در فلدسپار و میکاماهی پیرامون آن، ث و ج- باز تبلور فلدسپار، تشکیل خردۀ دانه همراه با چرخش و مهاجرت مرز خردۀ دانه، ج- خمش و ماکل دگرشکلی در پلازیوکلاز، ح- کینک شدگی در بیوتیت و خ- باز تبلور کوارتز و تشکیل خردۀ دانه که از شواهد دگرشکلی در حالت جامد دما-پایین هستند.

چرخش خردۀ دانه‌ها (SGR) در کوارتز نشانگر دگرشکلی دما- پایین (۴۰۰-۵۰۰°C) هستند [۴۰، ۳۷]. باز تبلور با برآمدگی (BLG) در کوارتز دمای کمتر از ۴۰۰°C را نشان می‌دهد (شکل ۵ خ). همچنین دگرشکلی دما- پایین با ماکل دگرشکلی در فلدسپار مشخص شده (شکل ۵ ج) که نشان دهنده دمای ۴۰۰-۵۰۰°C است [۳۷]. جهت پایابی ترجیحی در بیوتیت (میکماهی)، خم شدگی و کینک شدگی پلازیوکلاز و بیوتیت (شکل-های ۵ ج و ح) گویای دمای حدود ۴۰۰°C هستند [۴۱]. همچنین، شکستگی‌های ریز در پلازیوکلاز و فلدسپار قلیایی که در اثر شرایط شکننده در دمای کمتر از ۲۵۰°C درجه رخ داده‌اند [۳۷] نیز در این سنگ‌ها دیده می- شود. در مجموع، با بررسی شواهد ریزساختاری انواع ریزساختارهای شبه ماگمایی و ریزساختارهای حالت جامد دما- بالا تا دما-پایین در نمونه‌های شناسایی شد. همچنین، شواهد ریزساختاری نشان دهنده دمای در پهنه برشی زرین هنگام

انواع دگرشکلی و شرایط دمایی طی آن

در سنگ‌های مورد بررسی، ریزساختارهای دگرشکلی چون خاموشی کوارتز با الگوی شترنجی گویای دگرشکلی در دمای بالا، شرایط دمایی نزدیک به انجماد و دمای بالا (بیش از ۴۵۰°C) بوده (شکل ۵ الف) و از جمله شواهد دگرشکلی شبه ماگمایی هستند [۳۴-۳۲]. افزون بر این، در نمونه‌های مورد بررسی ریزشکستگی‌های فلدسپار با کوارتز و فلدسپار پر شده‌اند (شکل‌های ۵ ب و پ) که نشان دهنده وجود مذاب طی دگرشکلی است [۳۸-۳۵]. مهاجرت مرز خردۀ دانه (GBM) در فلدسپار از شواهد دگرشکلی در حالت جامد است که دمای حدود ۵۰۰-۷۰۰°C را نشان می‌دهد [۳۹]. خاموشی موجی در فلدسپار (شکل ۵ ت) و باز تبلور با برآمدگی (BLG) در کانی‌های فلدسپار گویای دمای ۴۵۰-۶۰۰°C هستند [۳۷]: باز تبلور و چرخش خردۀ دانه‌ها (SGR) در فلدسپار دمای ۶۰۰ درجه را نشان می‌دهند (شکل‌های ۴ ث و ج). باز تبلور و

بر مسکویت‌های مجموعه چاپدونی در پهنه برشی نی باز-چاتک سن 43 Ma برای فعالیت این پهنه برشی تعیین شده است. عمدۀ دگرشکلی‌ها در مجموعه پشت بادام نیز در دو مرحله طی فعالیت‌های زمین ساختی سیمیرین رخ داده هرچند، دگرشکلی‌هایی با سن ائوسن میانی نیز در آن تعیین شده است [۴۷]. همچنین، سن سنجی به روش اثر شکافت بر آپاتیت‌های ناحیه ساغند [۵۱] نشان دهنده بالاً‌مدگی مجموعه چاپدونی در ائوسن میانی است. با توجه به بررسی‌های ریزساختاری توده نفوذی زرین و توالی ریزساختارها، توده زرین از زمان تبلور تا مرحله سردشدن در معرض فعالیت‌های دگرشکلی پویا بوده است. بنابراین می‌توان گفت که ریزساختارهای شبه ماگمای شامل الگوی شترنجی خاموشی در کوارتز، شکستگی‌های شبه ماگمایی مربوط به زمان تبلور توده زرین و سرانجام ریزساختارهای حالت جامد دما-پایین در توده نفوذی زرین مربوط به مراحل ایانی سرد شدن آن می‌باشد.

اگر چه تعیین سن دقیق عملکرد فعالیت‌های برشی و رابطه بین دگرشکلی و نفوذ توده زرین نیازمند بررسی‌های سن‌سنجدی بر توده نفوذی زرین همچنین استفاده از روش اثر شکافت و یا Ar-Ar بر کانی‌های آن می‌باشد.

برداشت

بررسی‌های ساختاری در توده گرانیتوبیدی زرین بیانگر گسترش برگوارگی میلیونیتی با راستای NE-SW و شبیه به سمت غرب است. بررسی ریزساختارها در کانی‌های کوارتز، فلدسپار و بیوتیت نشانگر انواع ریزساختارهای شبه ماگمایی و ریزساختارهای حالت جامد و شکل‌پذیر است. دمای پهنه برشی زرین هنگام تشکیل این سنگ‌ها کمتر از 400°C تا بیش از 650°C بوده و قابل مقایسه با شرایط دمایی در رخساره شیست سبز تا آمفیبولیت بالایی است. شواهد ریزساختاری شبه ماگمایی شامل الگوی خاموشی شترنجی در کانی کوارتز (دمای بیش از 600°C) و نیز وجود شکستگی‌های شبه ماگمایی بوده که نشان دهنده دگرشکلی در حضور مذاب هستند. همچنین، وجود ریز ساختارهای دگرشکلی در حالت جامد دما-پایین و دما-بالا همراه با ریز ساختارهای شبه ماگمایی نشان دهنده گسترش ریزساختارها طی سرد شدن گرانیت در زمان‌ها و عمق‌های مختلف است و ریزساختارهای حالت جامد دما-پایین بر ریزساختارهای دما-بالا قرار دارند. با

تشکیل این سنگ‌ها بوده کمتر از 400°C تا بیش از 650°C که قابل مقایسه با شرایط دمایی در رخساره شیست سبز تا آمفیبولیت بالایی است.

بحث

شواهد ریزساختاری در توده نفوذی زرین بیانگر حضور از ریزساختارهای شبه ماگمایی تا ریزساختارهای حالت جامد دما-بالا و پایین هستند که همراه با کاهش پیشرونده دما گسترش یافته‌اند و به تغییرات پیوسته در سازوکار دگرشکلی طی سرد شدن ماگما اشاره دارند [۴۲-۴۴]. این امر نشان می-دهد که دگرشکلی در حضور مذاب آغاز و در زمان تبلور و طی سردشدنگی توده نیز ادامه داشته است. به عبارتی، گرانیت زرین در شرایط ماگمایی و مذاب دچار دگرشکلی برشی شده است که این با شواهد ریزساختاری شبه ماگمایی [۴۲-۴۶] چون الگوی خاموشی شترنجی کوارتز [۴۱-۴۹] و شکستگی‌های مربوط به شرایط شبه ماگمایی تایید می‌شود [۴۹]. نیود ریز ساختارهای ماگمایی در گرانیت زرین نشان می‌دهد که ماگمای تشکیل دهنده توده زرین بی درنگ دستخوش دگرشکلی برشی شده است. جایگیری همزمان با زمین ساخت ماگمای گرانیتوبیدی همراه با فعالیت پهنه برشی اغلب منجر به گسترش ریزساختارهای مختلف طی سرد شدنگی در دمای پایین می‌شود [۵۰]. در گرانیت زرین، شواهد قرار گیری ریزساختارهای حالت جامد دما-پایین بر ریزساختارهای دما-بالا دیده می‌شود. همچنین، توالی دو نوع دگرشکلی برشی در شرایط شبه ماگمایی تا شرایط حالت جامد دما-پایین در توده زرین نشان می‌دهد که دگرشکلی‌ها در طی سرد شدن گرانیت در زمان‌ها و عمق‌های مختلف گسترش یافته‌اند [۴۹].

چنان که بیان شد، ایران مرکزی و قطعه یزد به عنوان بخشی از پهنه دگرشکلی بین ورقه‌های عربی و اوراسیا در نظر گرفته شده است که وجود ویژگی‌های ساختاری پالئوزن در آن را نتیجه دگرشکلی درون قاره‌ای از موزوویک تا پالئوزن دانسته [۴۷]. بررسی‌های صحرایی و شواهد ریزساختاری در پهنه برشی نی باز-چاتک در ناحیه ساغند، شرق توده نفوذی زرین نیز نشان دهنده میلیونیتی شدن سنگ‌های دگرگونی و آذرین در شرایط دگرشکلی برشی شکل‌پذیر در مجموعه چاپدونی و پشت بادام است؛ و میلیونیت‌ها در یک پهنه برشی NE-SW در زمان زمین ساخت کششی ائوسن میانی تا پسین Ar-Ar تشکیل شده‌اند به طوریکه براساس سن‌سنجدی به روش

- [10] Saint Blanquet M., (de), Horsman E., Habert G., Morgan S., Vanderhaeghe O., Law R., Tikoff B., “*Multiscale magmatic cyclicity, duration of pluton construction, and the paradoxical relationship between tectonism and plutonism in continental arc*”, *Tectonophysics* 500 (2011) 20-33.
- [11] Vauchez A., da Silva M.E., “*Termination of a continental-scale strike-slip fault in partially melted crust: The West Pernambuco shear zone*”, northeast Brazil, *Geology* 20 (11) (1992) 1007-1010.
- [12] Pawley M.J., Collins W.J., “*The development of contrasting structures during the cooling and crystallization of a syn-kinematic pluton*”, *J. Struct. Geol.*, 24 (2002) 469–483.
- [13] Vernon R.H., “*Review of microstructural evidence of magmatic and solid-state flow*”, *Electronic Geosciences* 5 (2000) 2.
- [14] Rosenberg C.L., Stünitz H., “*Deformation and recrystallization of plagioclase along a temperature gradient: An example from the Bergell tonalite*”, *J. Struct. Geol.*, 25 (2003) 389–408.
- [15] Pennacchioni G., Di Toro G., Brack P., Menegon L., Villa I.M., “*Brittle-ductilebrittle deformation during cooling of tonalite (Adamello, Southern Italian Alps)*”, *Tectonophysics* 427 (2006) 171-197.
- [16] Mohajjl M., Masoudi F., Shakerardekani F., “*The Zarin Shear Zone and Its tectonic importance in Central Iranian MicroContinent*”, Esfahan university scientific Journal, No5 (2007) 261-276.
- [17] Masoudi F., Mohajjl M., Shakerardekani F., “*Study of Chemical and Structural Changes and Determination of Temperature in a Progressive Deformation: Evidence from Zarrin Shear Zone, Ardekan*”, Scientific Quarterly Journal, Geosciences, Vol.19 (2009) No 73, 11-16.
- [18] Yousefi M., Hoseini K., “*Zarrin Geological Map 1:100000*”, Geological Survey of Iran. No 6945 (2004).
- [19] Aghanabati A., “*Geology of Iran*”, Geological Survey of Iran, 606pp (2004).
- [20] Moix P., Beccaletto L., Kozur H.W., Hochard C., Rosselet F., Stampfli G. M., “*A new classification of the Turkish terranes and sutures and its implication for the paleotectonic history of the region*”, *Tectonophysics*, 451(1) (2008) 7-39.

بررسی ریزساختارها می‌توان گفت که بخشی از دگرشکلی نتیجه عملکرد فعالیت برشی در زمان تبلور توده نفوذی زرین و در حضور مذاب بوده است و سرانجام ریزساختارهای دماپایین برآمده از عملکرد فعالیتهای برشی در مراحل پایانی سردشدن گرانیت زرین هستند. همچنین براساس یافته‌های سنگنگاری وجود بافت شطونجی آلبیت در فلدسپار، می‌توان گفت که دگرشکلی پویا در منطقه فضای لازم برای نفوذ سیال‌ها را فراهم نموده و سبب عملکرد دگرنهادی در سنگ‌های مورد بررسی شده‌است. سیال‌های دگرنهاده هنگام تبلور ماقمای گرانیت زرین نیز می‌توانند از آن آزاد شده باشند.

مراجع

- [1] Dixon J.M., “*Finite strain and progressive deformation in models of diapiric structures*”, *Tectonophysics* 28 (1975) 89-124.
- [2] Ramberg H., “*The role of gravity in orogenic belts. In: McKlay, K.R., Price, N.J. (Eds.)*”, Geological Society Special Publication 9 (1981) pp. 125-140.
- [3] Paterson S.R., Tobisch O.T., “*Using pluton ages to determine regional deformations: problems with commonly used criteria*”, *Geology* 16 (1988) 1108-1111.
- [4] Paterson S.R., Vernon R.H., Tobisch O.T., “*A review of criteria for the identification of magmatic and tectonic foliations in granitoids*”, *J. Struct. Geol.* 11 (1989) 349-364.
- [5] Vanderhaeghe O., “*Migmatites, granites and orogeny: flow modes of partially molten rocks and magmas associated with melt-solid segregation in orogenic belt*”, *Tectonophysics* 477 (2009) 119-134.
- [6] Hutton D.H.W., “*A tectonic model for the emplacement of the Main Donegal granite, NW Ireland*”, *J. Geol. Soc. Lond.* 139 (1982) 61-631.
- [7] Hutton D.H.W., Reavy R.J., “*Strike-slip tectonics and granites petrogenesis*”, *Tectonics* 11 (1992) 960-967.
- [8] McCaffrey K.J.W., “*Igneous emplacement in a transpressive shear zone: Ox Mountains igneous complex. Geol.*”, *Soc. Lond.* 149 (1992) 221-235
- [9] Neves S.P., Vauchez A., Archanjo C.J., “*Shear zone-controlled magma emplacement or magma-assisted nucleation of shear zones? Insights from northeast Brazil. Kimberl Struct*”, *Cratonic Lithosphere*, 262 (1996) 349–364.

- granites from Rajasthan, NW India*", Journal of Petrology, Volume 53, Issue 5 (2012) 919–948
- [32] Hibbard M.J., "Petrography to petrogenesis", Prentice Hall, New Jersey (1995) 587p
- [33] Mainprice D., Bouchez J.L., Blumenfeld P., Tubia J.M., "Dominant c-slip in naturally deformed quartz: implications for dramatic plastic softening at hightemperature", Geology 14 (1986) 819-822.
- [34] Blumenfeld P., Mainprice D., Bouchez J.-L., "C-slip in quartz from subsolidus deformed granites", Tectonophysics 127 (1986) 95-115.
- [35] Shabanian N., Davoudian A., Khalili M., Khodami M., "Texture evidences imply on dynamic conditions in late-stage to post-magmatic crystallization from dynamo-magmatic gneisses of Ghaleh-Dezh, Azna", crystallography and mineralogy journal of iran, 18(3) (2010) 461-470.
- [36] Kruhl J.H., "Prism- and basal-plane parallel sub grain boundaries in quartz: A microstructural geothermobarometer.Metamorph", Geol., 14 (1996) 581–589.
- [37] Bouchez J.L., Delas C., Gleizes G., Nedelec A., Cuney M., "Submagmatic microfractures in granites", Geology, 20 (1992) 35–38.
- [38] Passchier C.W., Trouw R.A.J., "Microtectonics; Springer: Berlin/Heidelberg, Germany", (2005) ISBN 3540-64003-7.
- [39] Parsons A.J., Phillips R.J., Lloyd G.E., Law R.D., Searle M.P., Walshaw R.D., "Mid-crustal deformation of the Annapurna-Dhaulagiri Himalaya, central Nepal: An atypical example of channel flow during the Himalayan orogeny", Geosphere, 12 (2016) 985–1015
- [40] Nedelec A., Bouchez J.-L., "Granites: Petrology, Structure, Geological Setting and Metallogenesis", Oxford University Press, p. 335.
- [41] Zibra I., Kruhl J.H., Montanini A., Tribuzio R., "Shearing of magma along a high-grade shear zone: Evolution of microstructures during the transition from magmatic to solid-state flow", J. Struct. Geol., 37 (2012) 150–160.
- [42] Žák J., Verner K., Holub F.V., Kabele P., Chlupáčová M., Halodová P., "Magmatic to solid state fabrics in syntectonic granitoids recording early Carboniferous orogenic collapse in the Bohemian Massif", J. Struct. Geol, 36 (2012) 27–42.
- [21] Muttoni G., Mattei M., Balini M., Zanchi A., Gaetani M., Berra F., "The drift history of Iran from the Ordovician to the Triassic. In M.-F. Brunet, M. Wilmsen and J.W. Granath (Eds.), South Caspian to Central Iran Basins", Geological Society of London Special Publication no. 312, in press (2009).
- [22] Sengör A.M.C., "Mid-Mesozoic closure of Permo-Triassic Tethys and its implications", Nature 279 (1979) 590–593
- [23] Hafkenscheid E., Wortel M.J.R., "Spakman, W., 2006, Subduction history of the Tethyan region derived from seismic tomography and tectonic reconstructions:", Journal of Geophysical Research, v. 111, B08401.
- [24] Fürsich F.T., Wilmsen M., Seyed-Emami K., Majidifard M.R., "Lithostratigraphy of the Upper Triassic–Middle Jurassic Shemshak Group of Northern Iran. In: BRUNET, M.F., WILMSEN, M. and GRANATH', J. W. (eds) South Caspian to Central Iran Basins (2009).
- [25] Davoudian A.R., Genser J., Neubauer F., Shabanian N., "40Ar/39Ar mineral ages of eclogites from North Shahrekord in the Sanandaj–Sirjan Zone, Iran: Implications for the tectonic evolution of Zagros orogeny", Gondwana Research, 37, (2016) pp.216-240.
- [26] Alavi M., "Structures of the Zagros fold-thrust belt in Iran". American Journal of science, 307(9) (2007) pp.1064-1095
- [27] Ramezani J., Tucker R., "The Saghand region, Central Iran: U-Pb geochronology, petrogenesis and implication for Gondwana tectonics". Am. J. Sci. 303 (2003) 622–665.
- [28] Bagheri S., Stampfli G.M., "The Anarak, Jandaq and Posht-e-Badam metamorphic complexes in Central Iran: new geological data, relationships and tectonic implications", Tectonophysics 451 (2008) 123–155
- [29] Verdel C., Wernicke B.P., Ramezani J., Hassanzadeh J., Renne P.R., Spell T.L., "Geology and thermochronology of Tertiary Cordilleran style metamorphic core complexes in the Saghand region of central Iran", GSA Bull. 119 (2007) 961–977.
- [30] Whitney D.L., Evans W.E., "Abbreviations for names of rock-forming minerals", American Mineralogist, Volume 95 (2010) pages 185–187
- [31] Kaur P., Chaudhri N., Hofmann A.W., Raczk I., "Two-stage, extreme albitization of A-type

- exhumation: Tectonophysics*", v. 564–565 (2010) 83–100.
- [48] Buttner H.L., "The geometric evolution of structures in granite during continuous deformation from magmatic to solid-state conditions: An example from the central European Variscan Belt", Am. Miner., 84 (1999) 1781–1792
- [49] Fazio E., Fiannacca P., Russo D., Cirrincino R., "Submagmatic to Solid-State Deformation Microstructures Recorded in Cooling Granitoids during Exhumation of Late-Variscan Crust in North-Eastern Sicily", Geosciences , 10 (2020) 311; doi:10.3390/geosciences10080311.
- [50] Dawaï D., Tchameni R., Bascou J., Wangmene S., Tchunte P., Bouchez J., "Microstructures and magnetic fabrics of the Ngaound_er_e granitiferous pluton (Cameroon): Implications to the late-Pan-African evolution of Central Cameroon Shear Zone", Journal of African Earth Sciences 129 (2017) 887-897.
- [51] Francois T., Agard P., Bernet M., Meyer B., Chung S.L., Zarrinkoub M.H., Buroy E., Monie P., "Cenozoic exhumation of the internal Zagros: first constraints from low-temperature thermochronology and implications for the build-up of the Iranian plateau", Lithos 206 (2014) 100–112.
- [43] Gloaguen E., Branquet Y., Chauvet A., Bouchot V., Barbanson L., Vigneresse J.-L., "Tracing the magmatic/ hydrothermal transition in regional low-strain zones: The role of magma dynamics in strain localization at pluton roof, implications for intrusion-related gold deposits", J. Struct. Geol., 58 (2014) 108–121.
- [44] Stipp M., Stünitz H., Heilbronner R., Schmid S.M., "The eastern Tonale fault zone: A "natural laboratory" for crystal plastic deformation of quartz over a temperature range from 250 to 700 – C. J. Struct. Geol., 24, 1861–1884.
- [45] Paterson S.R., Ardill K., Vernon R., Žák J., "A review of mesoscopic magmatic structures and their potential for evaluating the hypersolidus evolution of intrusive complexes", Back Future, 125 (2019) 134–147.
- [46] Mamtani M.A., Greiling R.O., "Serrated quartz grain boundaries, temperature and strain rate: Testing fractal techniques in a syntectonic granite", Geol. Soc. Lond. Spec. Publ., (2010) 332- 335.
- [47] Kargarbanbafghi F., Neubauer F., Genser J., Faghih A., Kusky T., "Mesozoic to Eocene ductile deformation of western Central Iran: From Cimmerian collisional orogeny to Eocene